

С 341.1г + С 341.2г

18. X 1967

Ж-51

ОБЪЕДИНЕННЫЙ
ИНСТИТУТ
ЯДЕРНЫХ
ИССЛЕДОВАНИЙ

Дубна

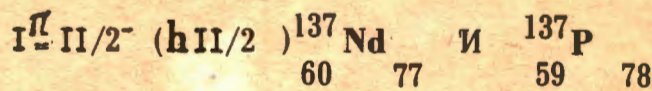
P6 - 3468



Ж.Т. Желев, В.Г. Калинников, Я. Липтак, Л.К. Пекер

Лаборатория ядерных процессов
Лаборатория нейтронной физики

ОБ ИЗОМЕРНЫХ СОСТОЯНИЯХ ТИПА



1967.

P6 · 3468

5346/1 №

Ж.Т. Желев, В.Г. Калинников, Я. Липтак, Л.К. Пекер

ОБ ИЗОМЕРНЫХ СОСТОЯНИЯХ ТИПА

$I_{\pi}^{\pi} \text{II}/2^- (\hbar \text{II}/2^-)$ $^{137}_{60}\text{Nd}$ и $^{137}_{59}\text{P}$ $^{78}_{78}$

НОВЫЙ ИЗОТОП $^{136}_{60}\text{Nd}$ $^{76}_{76}$



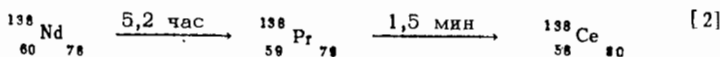
1. Введение

Недавно сообщалось об открытии изотопа $^{137}_{60}\text{Nd}$, период полураспада которого составляет $T_{1/2} = 55,0 \pm 1,5$ мин^{1/1}.

В настоящей заметке мы хотим обратить внимание на то, что обнаруженное у 55-минутной активности неодима излучение ^{1/1} - позитроны с $E_{\gamma} \approx 3000$ кэв и γ -лучи с $E_{\gamma} = 540$ и 553 кэв связаны с распадом нового изотопа ^{138}Nd , также имеющего период полураспада $T_{1/2} = 55$ мин.

Рассмотрим ожидаемые свойства изотопа ^{138}Nd - первого члена в цепочке

$^{136}_{60}\text{Nd}_{78} \longrightarrow ^{138}_{59}\text{Pr}_{77} \xrightarrow{13,5 \text{ м}} ^{138}_{58}\text{Ce}_{80}$. Прежде всего отметим, что известны аналогичные цепочки для ядер с $A = 138$ и 140:



Известно, что указанные в цепочках основные состояния ^{138}Pr и ^{140}Pr имеют характеристики $I^{\pi} = 1^+$ и конфигурацию $\{ p(d_{5/2}), n(d_{3/2}) \}$. Бета-переходы ядер Pr на основные состояния Ce ($I^{\pi} = 1^+ \rightarrow I^{\pi} = 0^+$) связаны с превращением $p(d_{5/2}) \rightarrow n(d_{3/2})$, что обеспечивает разрешенный

характер бета-переходов $^{138}\text{Pr} \rightarrow ^{138}\text{Ce}$ ($\log_{10} ft = 4,7 \pm 0,2$) $^{1/2,4}$ и $^{140}\text{Pr} \rightarrow ^{140}\text{Ce}$ ($\log_{10} ft = 4,40 \pm 0,05$) $^{1/3,5}$.

Можно ожидать, что β^- -переходы в первой половине цепочек $^{138}\text{Nd} \rightarrow ^{138}\text{Pr}$ и $^{140}\text{Nd} \rightarrow ^{140}\text{Pr}$ типа $I_1^{\pi} = 0^+ \rightarrow I_1^{\pi} = 1^+$ (связывающие аналогичные конфигурации) должны иметь близкие значения $\log_{10} ft$.

Что касается цепочки с $A = 136$, то сопоставление значений $T_{1/2}$ и Q_{β^+} распада ^{138}Pr со значениями этих величин для ^{138}Pr и ^{140}Pr показывает, что основное состояние ^{136}Pr не принадлежит к конфигурации $\{p(d_{5/2}), n(d_{3/2})\}_{1=1^+}$. В противном случае период полураспада этого изотопа составлял бы не 13,5 мин, а < 1 мин. С этим выводом согласуются и другие данные о схеме распада ^{138}Pr $^{1/6}$.

Однако несомненно, что состояние $I_1^{\pi} = 1^+ \{p(d_{5/2}), n(d_{3/2})\}$, аналогичное основным состояниям соседних ядер ^{138}Pr и ^{140}Pr , у ^{136}Pr должно находиться среди его низких возбужденных уровней и β -распад $^{136}\text{Nd} \rightarrow ^{136}\text{Pr}$, в основном, будет идти через этот уровень ($I_1^{\pi} = 0^+ \rightarrow I_1^{\pi} = 1^+$).

К сожалению, мы не знаем из опыта энергии β^- -переходов в первой половине всех трех цепочек, однако, ее можно грубо оценить, например, по методу Леви $^{1/7}$: $Q_{\beta^+} \approx 330$ кэв (^{140}Nd), $Q_{\beta^+} \approx 1100$ кэв (^{138}Nd), $Q_{\beta^+} \approx 1800$ кэв (^{136}Nd). Вычисленные с этими Q_{β^+} значения $\log_{10} ft$ для ^{140}Nd ($\approx 5,2$) и ^{138}Nd ($\approx 5,1$) совпадают с ожидаемыми и в какой-то мере оправдывают такие оценки.

Принимая $\log_{10} ft \approx 5,1$ и $Q_{\beta^+} \approx 1800$ кэв, легко получить значение периода полураспада ^{136}Nd $T_{1/2} \approx 1-2$ часа, что совпадает с наблюдавшимся на опыте значением $T_{1/2} = 55$ мин.

2. Экспериментальные результаты

В спектре γ -лучей и электронов внутренней конверсии Nd с $T_{1/2} = 55$ мин наблюдается ряд линий (табл. 1 и 2). Измерения спектра γ -лучей выполнены при помощи спектрометра с $\text{Ge}(\text{Li})$ -детектором с чувствительным объемом 12 см^3 . Разрешающая способность спектрометра $= 4,5$ кэв на γ -линии ^{60}Co с $E_{\gamma} = 1332$ кэв.

Измерения конверсионного спектра выполнялись на магнитном бета-спектрометре с двойной двукратной фокусировкой пучка частиц на угол $\pi/\sqrt{2}$. Разрешающая способность бета-спектрометра $= \approx 0,2\%$ при светосиле $\approx 0,1\%$ от полного телесного угла.

Кроме того, выполнены измерения β^+ -спектра 55-минутной активности Nd . Уточнена г; аничная энергия жесткой компоненты позитронного излучения ($E_{\text{гр}} = 2970 \pm 50$ кэв) и обнаружена более мягкая компонента ($E_{\text{гр}} = 1350 \pm 50$ кэв) (рис. 1).

Во всех измерениях в качестве источников служила фракция неодима, хроматографически выделенная из Gd -мишени, облученной быстрыми протонами ($E_p = 660$ Мэв). Фракция содержит помимо активности неодима с $T_{1/2} = 55$ мин другие пейтронодефицитные изотопы Nd с $A=141$ ($T_{1/2} = 2,4$ часа), $A = 140$ ($T_{1/2} = 3,3$ дн.), $A = 139$ ($T_{1/2} = 5,53$ час), $A = 138$ ($T_{1/2} = 5,2$ час).

Обращает на себя внимание совпадение характеристик излучения Nd с $T_{1/2} = 55$ мин и 136 Pr ($T_{1/2} = 13,5$ мин). Это подтверждает существование цепочки распада, начинающейся с ранее неизвестного изотопа 136 Nd :



Используя данные из табл. 1 и 2, можно показать, что наиболее интенсивные γ -переходы (с $h\nu = 538,9; 551,5$ и $1090,4$ кэв) осуществляются в ядре Ce ($Z = 58$) (см. табл. 3).

Прежде чем перейти к обсуждению схемы уровней 136 Ce , возбуждаемых из распада 136 Pr , мы приведем наши данные о мультипольностях некоторых переходов в 136 Ce (табл. 4). Чтобы выразить относительные интенсивности γ -лучей и конверсионных электронов (табл. 2 и 3) в одних единицах, используем тот факт, что γ -переход с $h\nu = 108,8$ кэв в ядре 137 Pr , интенсивность которого спадает с таким же периодом полураспада $T_{1/2} = 55$ мин, типа M1. Это позволит нам определить КВК перехода 551,5 кэв в 136 Ce , что совместно с данными по отношению K/L приводит к заключению о E2-типе рассматриваемого перехода. Переходы с $h\nu = 538,9$ и $1090,4$ кэв также имеют мультипольность типа E2.

3. Схема распада $^{136} \text{Nd} \longrightarrow ^{136} \text{Pr} \longrightarrow ^{136} \text{Ce}$

Система уровней 136 Ce , возбуждаемых при распаде 136 Pr ($T_{1/2} = 13,5$ мин), известна по работе /6/. В своей работе мы принимаем эту схему за основу, внося некоторые изменения. Такой вариант схемы представлен на рис. 2.

В качестве квантовых характеристик основного состояния ядра $^{136}_{50}\text{Pr}_{77}$ мы выбираем $I'' = 2^+$ или 3^+ . Это следует из баланса интенсивностей при распаде $^{136}\text{Pr} \rightarrow ^{136}\text{Ce}$. По модели оболочек основному состоянию $^{136}_{50}\text{Pr}_{77}$ можно присвоить конфигурацию $\{\text{p}(\text{d}_{5/2}), \text{n}(\text{s}_{1/2})\}$.

Баланс интенсивностей проведен в предположении, что бета-распад ^{136}Pr на основное состояние ^{136}Ce практически не происходит. Это позволило нам подсчитать вероятности заселения уровней ^{136}Ce из распада ^{136}Pr . Вероятность w_e/w_{β^+} для β^+ -переходов на каждый уровень ^{136}Ce мы принимали равным теоретическому $/10/$, считая бета-переходы разрешенными. На рис. 2 для каждого уровня ^{136}Ce приводится вероятность его заселения и соответствующее значение $\log_{10} f_t$ бета-перехода на этот уровень. В качестве функции $f(E, Z)$ использовалась $f^+(E, Z)/11/$ и $f^-(E, Z)/10/$.

Полученные нами данные о мультипольностях γ -переходов 538,9; 551,5 и 1090,4 кэв позволяют однозначно присвоить уровням 551,5 и 1090,4 кэв характеристики $I'' = 2^+$.

Уровню с энергией 1551,5 кэв в работе ^{/6/} присвоены характеристики $I'' = 0^+$ или 2^+ на основании того, что бета-переход на этот уровень носит разрешенный характер. В связи с тем, что нами изменены квантовые характеристики основного состояния ^{136}Pr , мы считаем возможным оставить у уровня 1551,5 кэв характеристики $I'' = 2^+$.

В работе ^{/6/} введен уровень с энергией 760 кэв. Мы считаем, что этот уровень нельзя отнести к ядру ^{136}Ce , так как переход с $\hbar\nu = 760$ кэв, по нашим данным, не связан с распадом $^{136}\text{Pr} \rightarrow ^{136}\text{Ce}$. Переход с $\hbar\nu = 673$ кэв, которым заселяется уровень 760 кэв, также, по нашему мнению, не имеет места при распаде ^{136}Pr . Дополнительным аргументом против введения уровня с энергией 760 кэв в ядре $^{136}_{58}\text{Ce}_{78}$ является тот факт, что в четно-четных ядрах трудно ожидать еще одно состояние вблизи первого возбужденного уровня с $I'' = 2^+$.

Заканчивая краткое рассмотрение схемы распада $^{136}\text{Nd} \xrightarrow{55 \text{ мин}} ^{136}\text{Pr} \xrightarrow{13,5 \text{ мес}} ^{136}\text{Ce}$, отметим, что уровень с $I'' = 1^+$ (конфигурация $\{\text{p}(\text{d}_{5/2}), \text{n}(\text{d}_{3/2})\}$) в ядре ^{136}Pr лежит вблизи основного состояния. Именно через этот уровень должен идти, в основном, β^- -распад $^{136}\text{Nd} \rightarrow ^{136}\text{Pr}$. В γ -спектре 55-минутной активности Nd мы не смогли обнаружить прямой γ -переход с уровня

$\{p(d_{5/2}), n(d_{3/2})\}_{\text{ядра}}$ в основное состояние ^{136}Pr . Можно утверждать, что энергия такого перехода < 100 кэВ.

4. Об изомерии в ядрах ^{137}Nd и ^{137}Pr

Рассмотрим некоторые свойства ядер $^{137}_{60}\text{Nd}_{77}$ и $^{138}_{60}\text{Nd}_{79}$. В работе ^{12/} было показано, что при β^+ -распаде изомерного состояния ^{138}Nd с $I'' = 11/2^-(h_{11/2})$ в дочернем ядре ^{139}Pr возбуждается изомерный уровень с энергией 820 кэВ с $I'' = 11/2^-(h_{11/2})$ (рис. 3). Это состояние распадается как прямым переходом типа Е3 в основное состояние $^{139}_{59}\text{Pr}_{80}$ с $I'' = 5/2^+(d_{5/2})$, так и на промежуточный уровень 113,8 кэВ с $I'' = 7/2^+(g_{7/2})$ у -переходом ^{12/} 707 кэВ. Хотя время жизни уровня 820 кэВ пока не измерено, в работе ^{12/} показано, что γ -лучи 707 кэВ практически не дают быстрых совпадений ни с одной γ -линией сложного спектра, кроме γ_{114} . Это прямо указывает на достаточно большое время жизни уровня 820 кэВ.

Появление такого долгоживущего уровня $h_{11/2}$ в изотопе $^{139}_{59}\text{Pr}$, а равно в $^{149}_{61}\text{Pm}_{88}$, $^{147}_{63}\text{Eu}_{84}$, $^{149}_{63}\text{Eu}_{86}$, $^{151}_{69}\text{Eu}_{88}$, представляется интересным, так как эти ядра находятся вне обычно рассматриваемых в модели оболочек границ "острова" изомерии $Z > 84$.

На рис. 4 приведены данные об энергии уровней $d_{5/2}$, $g_{7/2}$ и $h_{11/2}$ в этих ядрах, которые в соответствии с ожиданиями демонстрируют понижение энергии уровней $g_{7/2}$ и $h_{11/2}$ по мере удаления от полумагнитических ядер с $N=82$.

Рассмотрим более подробно данные о распаде $^{137}_{60}\text{Nd}_{77}$. Обычно 77-ой нейтрон в основных состояниях нечетных ядер находится на уровне $d_{3/2}$ ($^{129}_{52}\text{Te}_{77}$, $^{131}_{54}\text{Xe}_{77}$, $^{135}_{58}\text{Ce}_{77}$). Можно думать, что и $^{137}_{60}\text{Nd}_{77}$ не является исключением и его основное состояние будет типа $d_{3/2}$. Изучение схемы распада дочернего ядра $^{137}_{59}\text{Pr}_{78}$ показало, что основное состояние этого ядра $= d_{5/2}$. Бета-переходы между такими состояниями $d_{5/2} \rightarrow d_{3/2}$ относятся к типу разрешенных и имеют $\log_{10} ft \approx 5,1$ (см. табл. 5).

Если принять для распада $^{137}\text{Nd} \rightarrow ^{137}\text{Pr}$ экспериментальное значение ^{11/} $E_\beta + 3$ МэВ (приблизительно такое же значение $\approx 2,8$ МэВ получается по оценке Леви ^{7/}), то для этого β -превращения $\log_{10} ft \approx 6,9$. Слишком большая величина $\log_{10} ft$ свидетельствует о том, что рассматриваемый переход

не типа $d_{3/2} \rightarrow d_{5/2}$, так как переход $d_{3/2} \rightarrow d_{5/2}$ при распаде основного состояния должен был бы доминировать (ему соответствует наибольший матричный элемент). Следует признать, что наблюдаемый переход ($\text{и } T_{1/2} = 55 \text{ мин}$) не может быть связан с распадом основного состояния $d_{3/2}$. Единственной альтернативой остается вывод о том, что состояние ^{137}Nd с $T_{1/2} = 55 \text{ мин}$ не основное $d_{3/2}$, а изомерное с $I'' = 11/2^-$ ($h_{11/2}$), аналогичное изомерному состоянию ^{139}Nd с $T_{1/2} = 5,53 \text{ час}$ (рис. 8). Это состояние может распадаться на относительно долгоживущий уровень $^{137}_{59}\text{Pr}_{78}$ с $I'' = 11/2^-$ ($h_{11/2}$), причем, согласно систематике (рис. 4), этот уровень должен иметь энергию возбуждения меньше, чем в ^{139}Pr (< 820 кэв).

5. О периодах полураспада основных состояний ^{138}Nd и ^{137}Nd

Используя систематику данных о β^+ -переходах типа $d_{5/2} \rightarrow d_{3/2}$ (табл. 5), рассмотрим вопрос об основных состояниях ядер ^{139}Nd и ^{137}Nd .

В работе /17/ было установлено, что распад ^{139}Nd ~~5,5 час~~¹³⁹ Pr сопровождается испусканием позитронов с граничной энергией $E_{\text{гр}} = 1000 \pm 100 \text{ кэв}$. Нет сомнения, что этот β^+ -переход происходит между изомерными состояниями типа $h_{11/2}$ ядер ^{139}Nd и ^{139}Pr (рис. 3). Отсюда мы получаем энергию β^+ -распада $^{139}\text{Nd}(d_{3/2}) \rightarrow ^{139}\text{Pr}(d_{5/2})$ $Q_{\beta^+} = 2610 \pm 100 \text{ кэв}$. Если принять, что β^+ -переходы типа $d_{5/2} \rightarrow d_{3/2}$ характеризуются величиной $\log_{10} ft = 6,15 \pm 0,15$ (среднее значение из табл. 5), то для периода полураспада $^{139}\text{Nd}(d_{3/2})$ получаем: $T_{1/2} = (52 \pm 20) \text{ мин}$.

Отметим, что величина Q_{β^+} для перехода между основными состояниями ядер ^{139}Nd и ^{139}Pr хорошо согласуется со значением, предсказанным из систематики величин Q_{β^+} для β -переходов типа $d_{5/2} \rightarrow d_{3/2}$ для ядер, соседних с $^{139}\text{Nd}_{79}$ и $^{139}_{59}\text{Pr}_{80}$ (см. рис. 5а).

Рассмотрим теперь данные относительно распада основного состояния ^{137}Nd . В 1951 г. Стовор /18/ при облучении оксида працеодима протонами с энергией 40–50 Мэв обнаружила ранее неизвестную активность неодима с периодом полураспада $T_{1/2} = 22 \pm 2 \text{ мин}$. Эту активность Стовор предположительно приписала изотопу ^{138}Nd , возникшему в реакции $^{141}\text{Pr}(p, 4n)$. По данным Стовор /18/, распад 22-минутной активности ^{138}Nd сопровождается испусканием

позитронов . Максимальная кинетическая энергия β^+ -частиц была измерена методом поглощения: $E_{\text{гр}} = 2,4$ Мэв.

Как показано в работах ^{/3,12,2/}, изотоп ¹³⁸ Nd имеет период полураспада $T_{1/2} = 5,2 \pm 0,1$ час. Ядро ¹³⁸ Nd ₆₀ - четно-четное и в нем нельзя ожидать изомерного состояния с большим временем жизни. Кроме того, превращение ¹³⁸ Nd \rightarrow ¹³⁸ Pr не может сопровождаться испусканием позитронов со столь большой кинетической энергией $E_{\beta^+} = 2,4$ Мэв (по Леви ^{/7/} $Q_{\beta^+} = 1100$ кэв). Поэтому обнаруженная Стовор ^{/18/} активность с $T_{1/2} = 22 \pm 2$ мин не относится к ¹³⁸ Nd , а принадлежит другому изотопу неодима.

В частности, этот период может относиться к основному состоянию ¹³⁷ Nd. Образование этого изотопа энергетически было возможным в опытах Стовор по реакции ¹⁴¹ Pr (p, 5n).

На рис. 5б дана систематика энергий β^+ -распада между состояниями $d_{5/2}$ и $d_{3/2}$ для ядер, соседних с ¹³⁷ Nd₇₇ и ¹³⁷ Pr₇₈. Из этого рисунка видно, что бета-переход между основными состояниями ¹³⁷ Nd и ¹³⁷ Pr должен иметь энергию $Q_{\beta^+} = 3350$ кэв. Это значение очень хорошо согласуется с экспериментальной величиной, установленной Стовор ^{/18/} для β^+ -распада 22-минутной активности Nd ($Q_{\beta^+} = 3420$ кэв). Поэтому мы считаем, что обнаруженная ранее ^{/18/} активность Nd с $T_{1/2} = 22 \pm 2$ мин принадлежит изотопу ¹³⁷ Nd($d_{3/2}$) (рис. 3). Значение $\log_{10} ft$ бета-перехода ¹³⁷ Nd($d_{3/2}$) \rightarrow ¹³⁷ Pr($d_{5/2}$), подсчитанное с указанными величинами Q_{β^+} и $T_{1/2}$, будет равно 5,4 , что характерно для β^+ -переходов типа $d_{5/2} \xrightarrow{\beta^+} d_{3/2}$ (см. табл. 5).

В заключение авторы считают своим приятным долгом поблагодарить В. Докузову и А. Липтак за помощь в работе.

Л и т е р а т у р а

1. K.Gromov,V. Kalinnikov,V.Kuznetsov,N.Lebedev, G.Musiol,E.Hermann, Zh.Zhelev, B.Dzhelepov,A.Kudryavtseva, Nucl.Phys., 73, 65 (1965).
2. K.Gromow, J.Demeter, Sch.Schelew,W.Kalinnikow,Kim En Su,N.Lebedew, F.Molnar,W.Morosow,G.Pfrepper, V.Chalkin, E.Hermann, D.Christow, Nucl.Phys., 88, 225 (1966).

3. Б.С. Джелепов, Л.К. Пекер, В.О. Сергеев. Схемы распада радиоактивных ядер с > 100 . Изд. АН СССР, М-Л, 1963.
4. В.С. Бутцев, Ж.Т. Желев, В.Г. Калинников, А.В. Кудрявцева, Я. Липтак, Ф. Молнар, У. Назаров, Я. Урбанец. Пр. и тезисы докладов XVII ежегодного совещания по ядерной спектроскопии и структуре атомного ядра. Изд. "Наука", Ленинград, 1967.
5. Л.Н. Абесалашвили, Ж. Желев, В.Г. Калинников, Я. Липтак, У. Назаров, Я.Урбанец. Препринт ОИЯИ Р6-3343, Дубна 1967.
6. A.R.Brosi, B.N.Ketelle, J.R.Van Hise. ORNL-3994 (1966).
7. J.Riddell. AECL-339 (1967).
8. М.П. Авотина, Ж.Т. Желев, В.Г. Калинников. Препринт ОИЯИ № 2412, Дубна 1965.
9. Л.А. Слив, И.М. Банд. Таблицы КВК гамма-излучения на K и L-оболочках. В книге "Гамма-лучи", изд. АН СССР, М-Л, 1961.
10. Л.Н. Зырянова. Уникальные бета-переходы. Изд. АН СССР, М-Л, 1960.
11. Б.С. Джелепов, Л.Н. Зырянова. Влияние электрического поля атома на бета-распад. Изд. АН СССР, М-Л, 1956.
12. К.Я. Громов, А.С. Данагулян, Л.Н. Никитюк, В.В. Муравьева, А.А. Сорокин, М.З. Шталь, В.С. Шпинель. ЖЭТФ, 47, 1645 (1964).
13. K.Kotajima, K.W.Brockman and G.Wolzak. Nucl.Phys., 65, 109 (1965).
14. Л.Н. Абесалашвили, Ж. Желев, В.Г. Калинников, Я. Липтак, У. Назаров, Я. Урбанец. Препринт Р6-3341, Дубна 1967.
15. J.D.King et al., Nucl.Phys., A99, 433 (1967).
16. J.R.Van Hise, B.H.Ketelle and A.R.Brosi. Phys.Rev., 153, 1287 (1967).
17. Н.А.Бонч-Осмоловская, Б.С.Джелепов, О.Е.Крафт, Чжоу Юе-ва. Изв. АН СССР, сер. физ., 25, 826 (1961).
18. B.J. Stover. Phys.Rev., 81, 8 (1961).

Рукопись поступила в издательский отдел
28 июля 1967 г.

Таблица I
Гамма - лучи $I^{36} Pr$

Номер пп	Работа [6]		Данная работа		Примечание
	E_{γ} , кэв	I_{γ} отн.	E_{γ} , кэв	I_{γ} отн.	
I.	460	I4	461,2	$13,5 \pm 0,5$	
2.	540	100 ^{x)}	539,3	100 ^{x)}	
3.	552	I44	551,7	143 ± 3	
4.	673	0,6	-	-	не принадлежит $I^{36} Pr$
5.	760	3.1	..	-	-"-
6.	976	I,6	(971)	$2,0 \pm 0,6$	
7.	1001	8,5	999,5	$9,3 \pm 1,2$	
8.	1047	2,1	1045,5	$2,6 \pm 0,6$	
9.	1092	36	1090,4	$33,0 \pm 1,6$	
10.	1361	2,3	1358	$3,3 \pm 0,8$	
II.	1433	2,2	1430	$2,7 \pm 0,8$	
I2.	1519	3,1	1511	$2,5 \pm 0,9$	
I3.	1578	I,6	1573	$2,0 \pm 0,8$	
I4.	1601	5,0	1596,6	слож	
I5.	1904	I,7	-	-	
I6.	2074	3,5	-	-	
I7.	2249	I,4	-	-	
I8.	2458	I,I	-	-	

x) $I_{\gamma} 540$ принята за 100 ед.

Таблица 2

Электронные внутренние конверсии ^{136}Pr

№ пп	Работа [8] хх)		Данная работа		
	E_e , кэВ	относит. интенсивн.	E_e , кэВ	относит. интенсивн.	Идентификация линий
1.	498,7	765 ± 60	$498,4 \pm 0,4$	756 ± 60	K 538,9
2.	511,25	$1000^x)$	$511,0 \pm 0,4$	$1000^x)$	K 551,5
3.	533,5	276 ± 28	-	-	L 539 + K 575,5 $I^{37}Nd$
4.	545,5	143 ± 15	-	-	L 552,0
5.	-	-	$1050,0 \pm 0,7$	$45 \pm 4,5$	K 1090,4

x) $I_{K551,5}$ принята за 1000.

xx) Данные работы [8] заново пересмотрены.

Таблица 3

Определение заряда ядра, в котором происходят
гамма-переходы с энергиями 538,9; 551,5 и 1090,4 кэВ.

Переход (кэВ)	Разность, $E_x - E_{e\kappa}$ (кэВ)			
	Эксперимент	Теория [3]		
		$Z = 59$	$Z = 58$	$Z = 57$
538,9	$40,9 \pm 0,6$			
551,5	$40,7 \pm 0,6$	$42,00$	$40,45$	$38,93$
1090,4	$40,4 \pm 0,9$			

Моделирование состояния некоторых гамма-переходов в ядре ^{136}Ce

Таблица 4

(нр)	$\chi^2/\text{стд}$	Число отрицател ьных линий	Теория [9]			Выход о муль тиности
			E1	E2	E3	
38,9	α_{κ}	$(7,95 \pm 0,95)10^{-3}$	$2,72(-3)$	$7,6(-3)$	$1,97(-2)$	$I, I_6(-2)$
511,5	α_{κ}	$7,0 \pm 0,9$	$7,6$	$6,3$	$4,5$	$3,63(-2)$
551,5	α_{κ}	$7,2(-2)$	$2,57(-3)$	$7,2(-3)$	$1,85(-2)$	$I, I_0(-2)$
1090,4	α_{κ}	$(1,6 \pm 0,30)10^{-3}$	$6,4(-4)$	$1,5(-3)$	$3,1(-3)$	$2,15(-3)$

Таблица 5
Систематика данных о бета-переходах типа $d_{5/2} \rightleftharpoons d_{3/2}$

Бета-превращение	I_i^{π}	I_f^{π}	Q_{β} _{кэВ}	$I\%$ β^+	$I\%$ ε	$T_{1/2}$	$\log_{10} ft$	Ссылка
$^{143}\text{Eu} \rightarrow ^{143}\text{Sm}$	$5/2^+$	$3/2^+$	5000 ± 200	-	-	$2,3 \pm 0,2\text{ м}$	5,I	[I3]
$^{143}\text{Sm} \rightarrow ^{143}\text{Pr}$	$3/2^+$	$5/2^+$	3520	43	57	$8,6 \pm 0,1\text{ м}$	4,8	[3]
$^{141}\text{Pr} \rightarrow ^{141}\text{Nd}$	$5/2^+$	$3/2^+$	3620	60	40	$22 \pm 1\text{ м}$	5,4	[3]
$^{141}\text{Nd} \rightarrow ^{141}\text{Pr}$	$3/2^+$	$5/2^+$	1810 ± 20	2,6	94,7	2,42 час	5,2	[3], [I4]
$^{139}\text{Pr} \rightarrow ^{139}\text{Ce}$	$5/2^+$	$3/2^+$	2110 ± 20	22,2	76,5	4,5 час	5,2	[I5]
$^{139}\text{Ce} \rightarrow ^{139}\text{La}$	$3/2^+$	$5/2^+$	104	0	100	140 дн.	5,3	[3]
$^{137}\text{Pr} \rightarrow ^{137}\text{Ce}$	$5/2^+$	$3/2^+$	1740 ± 10	27	67	$76,6 \pm 1,5\text{ м}$	4,9	[16]
$^{137}\text{Ce} \rightarrow ^{137}\text{La}$	$3/2^+$	$5/2^+$	1190	-	97	9,0 час	5,3	[3]

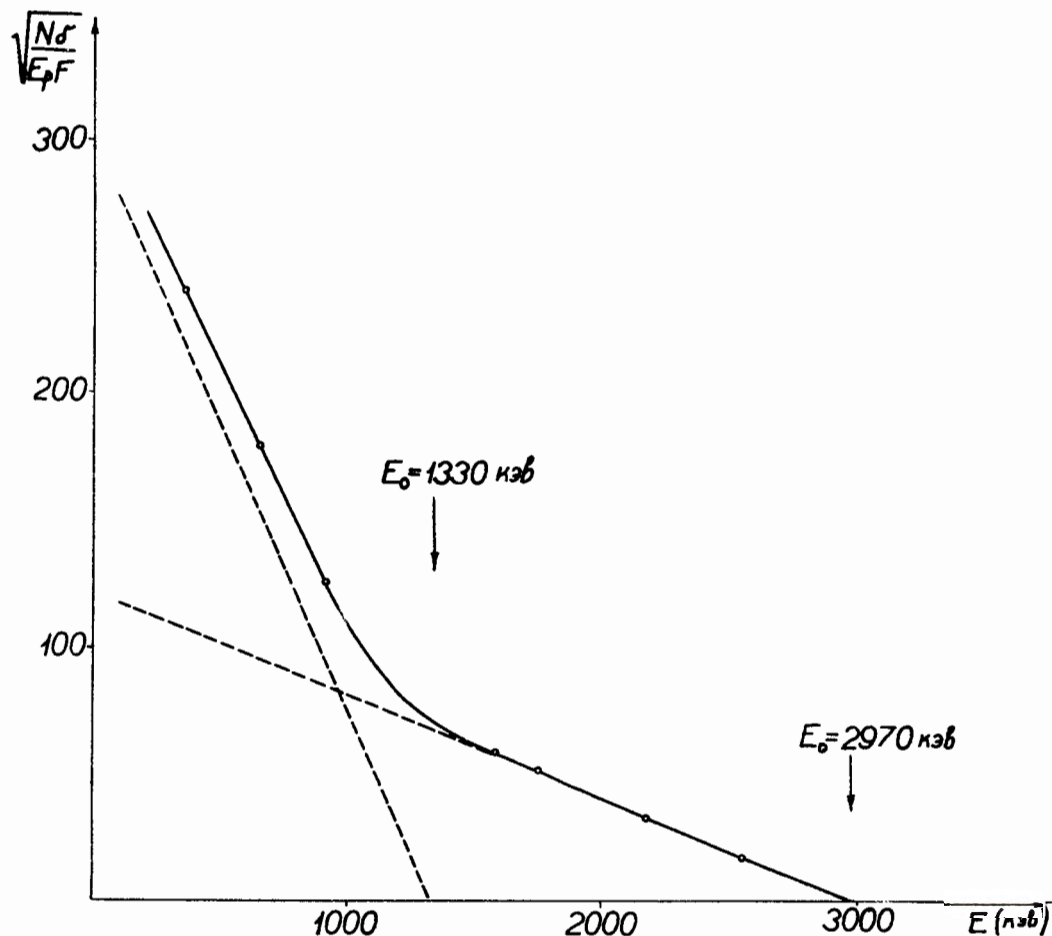


Рис. 1. График Кюри-Ферми позитронного спектра 55-минутной активности.

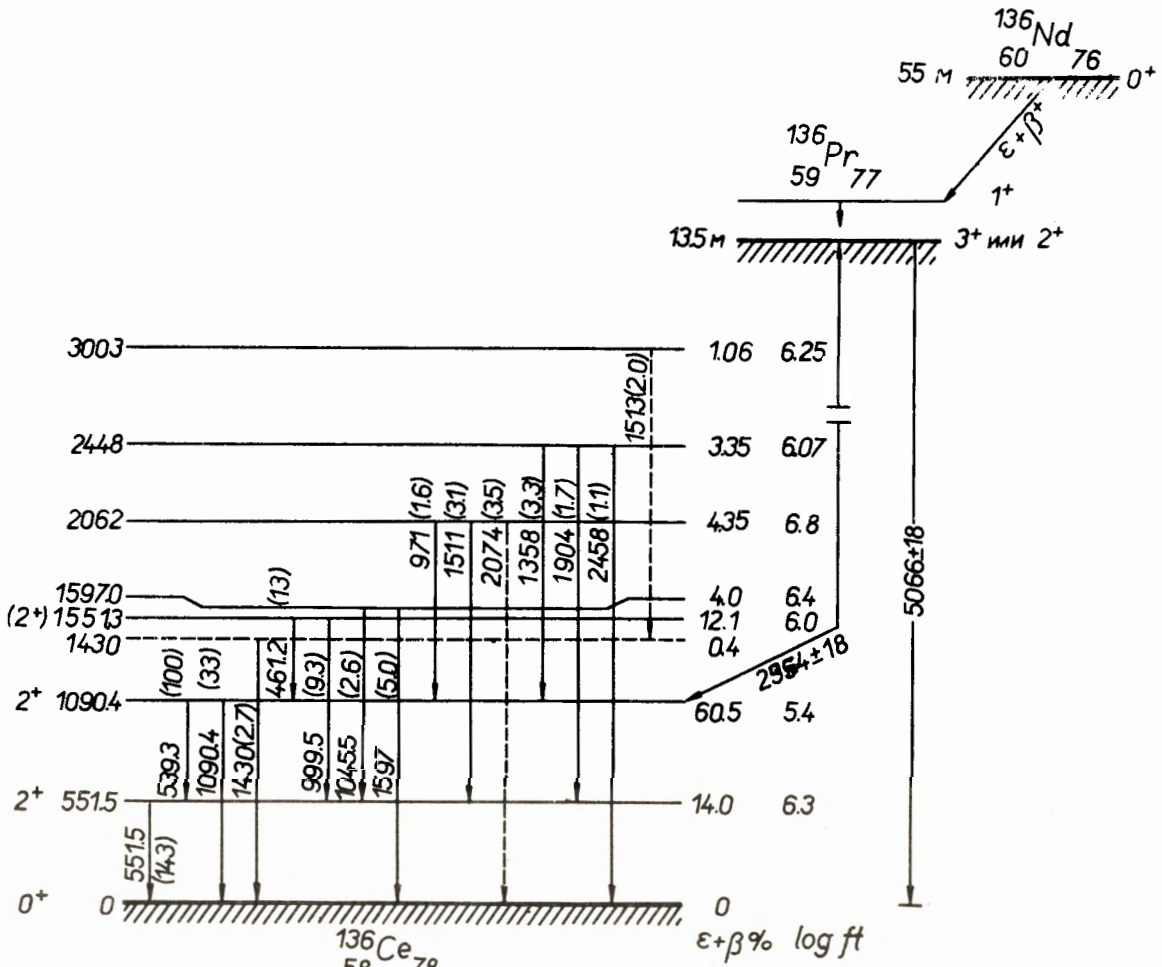


Рис. 2. Схема распада $^{136}\text{Nd} \rightarrow ^{136}\text{Pr} \rightarrow ^{136}\text{Ce}$.

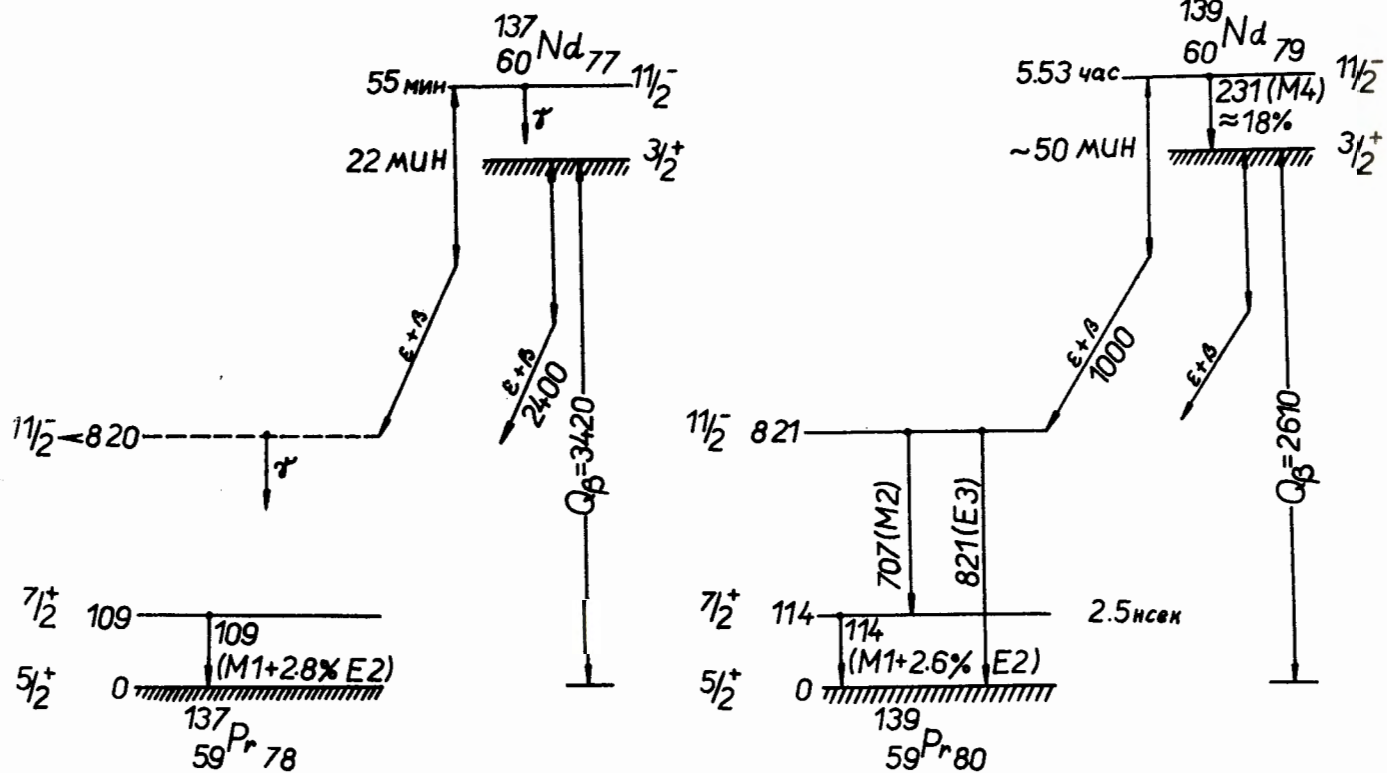


Рис. 3. Фрагменты схем распада изомеров ^{137}Nd и ^{139}Nd .

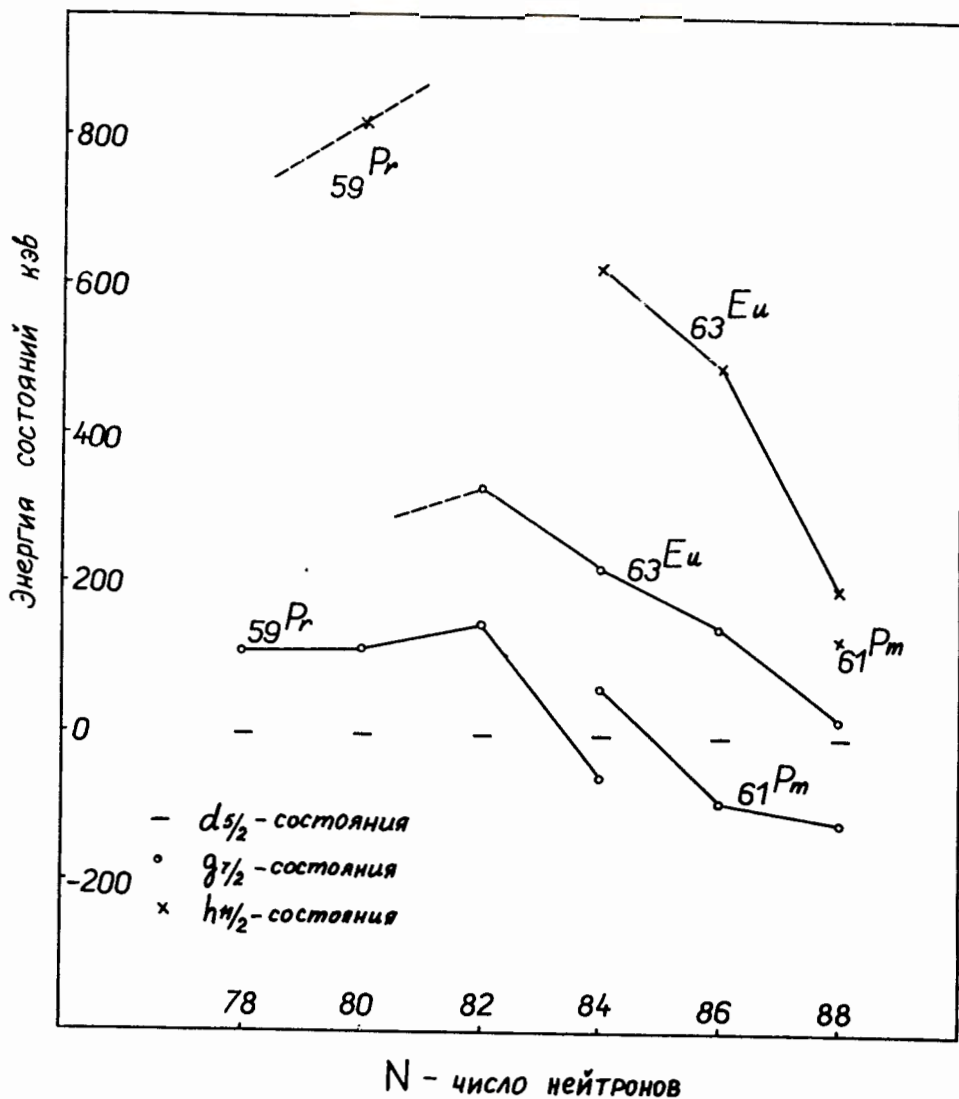


Рис. 4. Систематика энергий уровней с $I^\pi = 5/2^+$, $7/2^+$ и $11/2^-$ в нечетных ядрах ^{59}Pr , ^{61}Pm , ^{63}Eu .

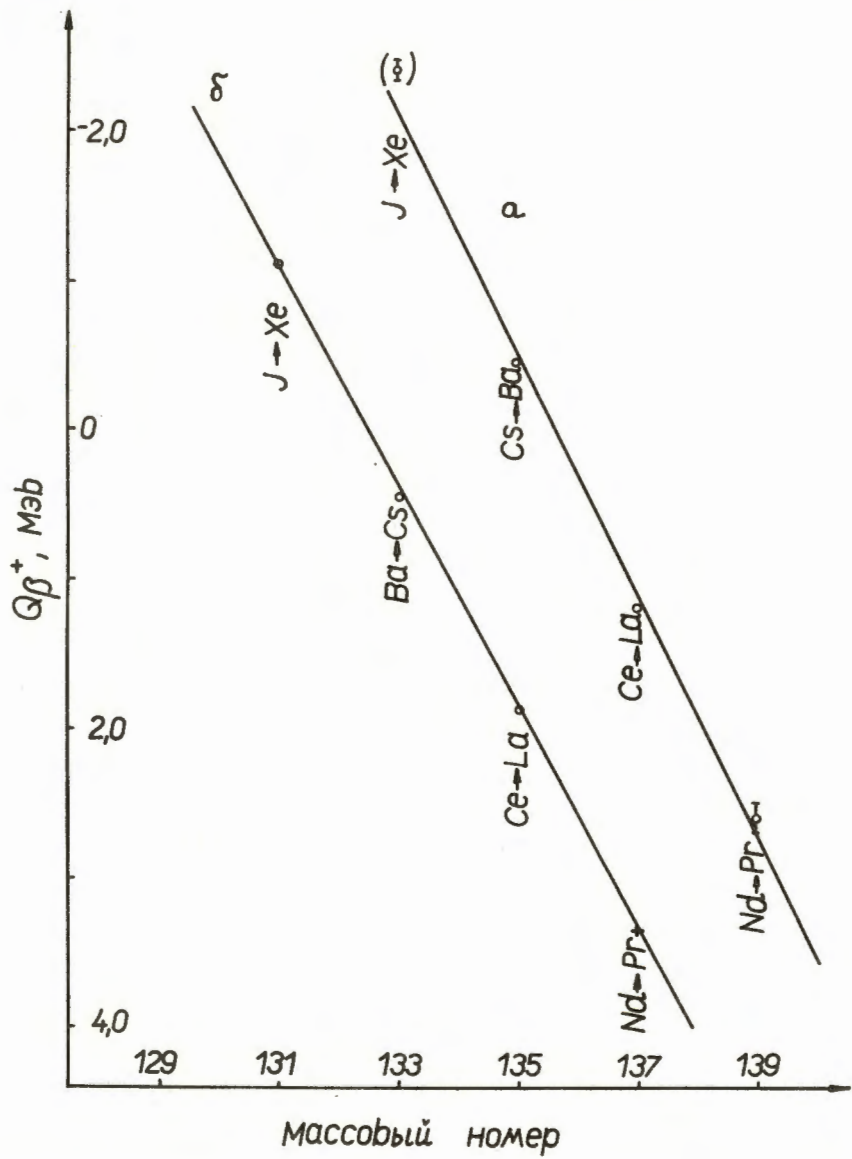


Рис. 5. Систематика энергий β^+ -распада для переходов типа $d_{3/2} \rightarrow d_{5/2}$;
 а) бета-превращения ядер, соседних к $^{139}_{60}Nd_{79} \rightarrow ^{139}_{59}Pr_{80}$;

б) бета-превращения ядер, соседних к $^{137}_{60}Nd_{77} \rightarrow ^{137}_{69}Pr_{78}$.